

# СРАВНЕНИЕ СРЕДНИХ ПО ВРЕМЕНИ ПОТЕРЬ МОЩНОСТИ В БИПОЛЯРНЫХ ТРАНЗИСТОРАХ С ИЗОЛИРОВАННЫМ ЗАТВОРОМ И КОМБИНИРОВАННЫХ СИТ-МОП-ТИРИСТОРАХ

*А. С.Кюрегян<sup>1</sup>, А. В. Горбатюк<sup>2</sup>, Б. В. Иванов<sup>3</sup>,*

<sup>1</sup>Всероссийский электротехнический институт им. В.И. Ленина.

<sup>2</sup>Физико-технический институт им. А.Ф. Иоффе Российской академии наук.

<sup>3</sup>Санкт-Петербургский государственный электротехнический университет «ЛЭТИ» им. В.И. Ульянова (Ленина).

## Аннотация

Проведено двумерное численное моделирование процессов переключения эквивалентных кремниевых биполярных транзисторов с изолированным затвором типа CSTBT и комбинированных СИТ-МОП-тиристоров (КСМТ) из блокирующего состояния в проводящее и обратно. Показано, что и при включении, и при выключении энергия коммутационных потерь в КСМТ больше, чем в полностью эквивалентном CSTBT. Поэтому средняя по времени мощность  $\bar{P}$ , рассеиваемая в КСМТ, становится меньше, чем в эквивалентном CSTBT, только при большой длительности  $T_{ON}$  импульса тока. Однако уменьшение времени жизни  $\tau_0$  неравновесных носителей заряда в СИТ позволяет существенно снизить коммутационные потери КСМТ, сохраняя его преимущество в открытом состоянии. Вследствие этого для каждого набора параметров CSTBT можно подобрать такое  $\tau_0$  в «почти эквивалентном» КСМТ, что мощность  $\bar{P}$ , рассеиваемая в КСМТ, будет меньше, чем в эквивалентном CSTBT, в любом заданном диапазоне значений амплитуды  $J_a$  и длительности  $T_{ON}$  импульсов тока.

## 1. Введение

В настоящее время биполярные транзисторы с изолированным затвором (БТИЗ) являются наиболее эффективными и распространенным ключевыми элементами для преобразователей средней мощности [1,2]. Наилучшими характеристиками обладают БТИЗ траншейной конструкции, содержащие дополнительный стоп-слой между  $p^+$ -коллектором и высокоомной  $n$ -базой [3] (в англоязычной литературе такой прибор обычно называется Carrier Storage Trench Bipolar Transistor, или CSTBT), однако для его производства необходима технологическая база очень высокого уровня. Гораздо более прост в изготовлении комбинированный СИТ-МОП-тиристор (КСМТ), который является точным функциональным аналогом CSTBT. Это гибридный прибор, содержащий высоковольтный тиристор с электростатическим управлением (СИТ) и управляющий низковольтный МОП-транзистор, расположенные на двух кристаллах и соединенные по каскодной схеме [4]. Экспериментальные исследования опытных образцов КСМТ [5,6] показали, что эти приборы как будто не уступают

CSTBT. Однако сравнение проводилось между приборами, которые могли отличаться не только принципиально разными способами управления инжекцией электронов, но и рядом геометрических и электрофизических параметров чипов. Эти особенности экспериментов [5,6] исключают возможность выявления фундаментальных физических отличий, которые могут быть найдены только путем сравнения характеристик приборов различных типов, которые эквивалентны в том смысле, что все параметры их высоковольтных частей идентичны.

Недавно в работе [7] такое сравнение было проведено путем численного моделирования статических характеристик «эквивалентных» кремниевых CSTBT и КСМТ. Было показано, что блокирующая способность в закрытом состоянии практически одинакова, а в открытом состоянии падение напряжения  $U_{ON}$  на CSTBT больше, чем на КСМТ, при плотности тока анода  $J_a > 10 \text{ А/см}^2$ . Однако этой информации недостаточно для полного сравнения, так средняя мощность  $\bar{P}$ , рассеиваемая коммутаторами в процессе работы, включает в себя и коммутационные потери. Если период следования  $T^{-1}$  и длительность  $T_{ON}$  прямоугольных импульсов тока много больше характерных времен выключения  $t_{off}$  и включения  $t_{on}$ , то величину  $\bar{P}$  можно представить в виде  $\bar{P} = T^{-1}(P_{ON}T_{ON} + W_c)$ , где  $P_{ON} = U_{ON}J_{ON}$  - установившаяся мощность, рассеиваемая в открытом состоянии,  $W_c = W_{on} + W_{off}$  - полная энергия коммутационных потерь,

$$W_{on} = \int_0^{T_{ON}} [P(t) - P_{ON}] dt, \quad W_{off} = \int_{T_{ON}}^T P(t) dt, \quad (1)$$

$P(t) = U_a(t)J_a(t)$  - мгновенная рассеиваемая мощность, причем энергии  $W_{on}$  и  $W_{off}$  не зависят от  $T$  и  $T_{ON}$ . Целью настоящей работы, продолжающей исследование [7], является расчет переходных характеристик  $U_a(t)$ ,  $J_a(t)$  и сравнительный анализ средних потерь мощности  $\bar{P}$  в «эквивалентных» кремниевых CSTBT и КСМТ.

## 2. Конструкции приборов и метод моделирования их характеристик.

Объектами исследования были CSTBT и КСМТ, конструкция которых схематично изображена на Рис. 1. Геометрические и электрофизические параметры исходных эпитаксиальных структур и диффузионных слоев приведены в таблицах 1-3 из работы [7], однако в некоторых случаях использовались иные значения параметров  $\tau_0 = \tau_{n0} = \tau_{p0}$ , входящих в формулу Шокли-Рида для скорости рекомбинации через глубокий уровень. Расчеты переходных и необходимых для полноты анализа статических характеристик проводились, как и в [7], с помощью программы TCAD SENTAURUS фирмы SYNOPSYS [8]. Использованные в настоящей работе метод построения сетки конечных элементов и зависимости кинетических

и рекомбинационных коэффициентов от уровня легирования также описаны в [7]. Дополнительно были учтены зависимости подвижностей электронов и дырок от напряженности электрического поля, которая изменяется от единиц до сотен тысяч В/см в процессе коммутации.

В использованной нами модели коммутация приборов осуществлялась путем мгновенного изменения потенциалов затворов управляющих МОП-транзисторов с -20 В до +20 В (при включении) и обратно (при выключении). Согласно расчетам [7] при этом приведенное сопротивление  $R_{dsON}$  открытого МОП-транзистора в CSTBT равно примерно 1 мОм см<sup>2</sup>. Это

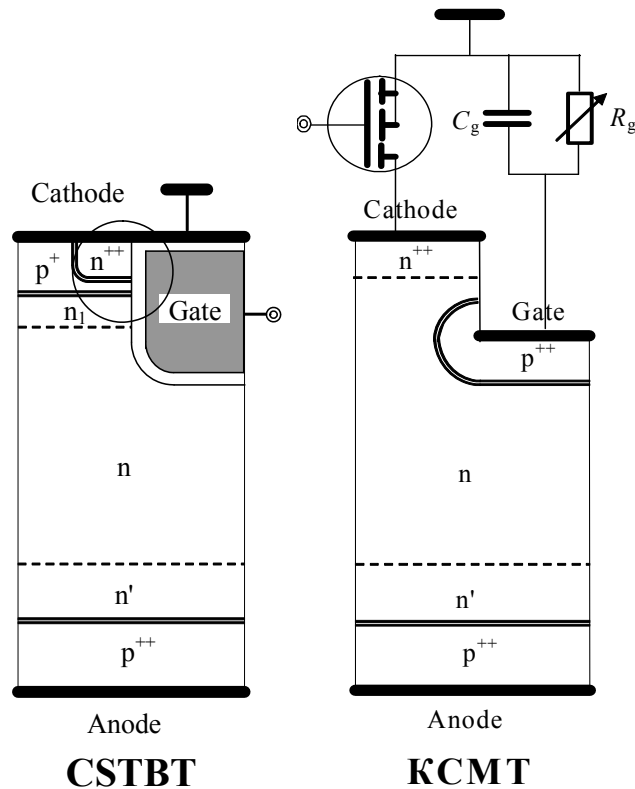


Рис. 1. Схематичное изображение поперечной ячейки CSTBT и комбинированного СИТ-МОП-тиристора (КСМТ). Окружностью выделен интегрированный в основной чип CSTBT полевой транзистор, который в КСМТ изготавливается на отдельном чипе.

же значение  $R_{dsON}$  мы использовали для управляющего МОП-транзистора в КСМТ. Вместо низковольтного стабилитрона [9], стабилитора [4] или регулирующего МОП-транзистора [10,11], соединяющего затвор СИТ с заземленным электродом КСМТ, мы использовали в качестве регулирующего элемента КСМТ параллельную RC-цепочку, емкость  $C_g$  которой варьировалась от 0 до 20 нФ/см<sup>2</sup>, а сопротивление  $R_g$  мгновенно изменялась от  $R_{g0} = 1$  мОм см<sup>2</sup> (при включении) до  $R_{g1} = (10 \cdot 10^7)$  Ом см<sup>2</sup> (при выключении) и обратно. Эти упрощения позволили, во-первых, сократить очень значительное время моделирования переходных процессов в КСМТ, во-вторых, фактически исключить влияние параметров драйверов на резуль-

таты сравнения характеристик двух приборов и, в-третьих, выяснить, как параметры регулирующих элементов в цепи затвора СИТ влияют на его переключение.

### 3. Результаты моделирования и их обсуждение.

Как уже было отмечено во Введении, в открытом состоянии падение напряжения на КСМТ заметно меньше, чем на эквивалентном CSTBT, но в качественном отношении вольт-амперные характеристики совпадают. Это обстоятельство проиллюстрировано на Рис. 2 для одного из наборов параметров. Переходные характеристики этих приборов различаются не только количественно, но и качественно: включение КСМТ, в отличие от CSTBT, происходит с заметной задержкой  $t_d$  (см. Рис. 3). Задержка включения CSTBT отсутствует в нашей модели, так как мы считали, что время заряда входной емкости затвор-катод равно нулю<sup>1</sup>. Однако для начала включения КСМТ необходимо еще, чтобы напряжение на барьерной емкости обратно смещенного перехода затвор-катод  $C_{cg} \sim 1 \text{ нФ/см}^2$  уменьшилось до напряжения отсечки. Расчеты показывают, что  $t_d$  может изменяться от десятков наносекунд до десятков микросекунд в зависимости от параметров СИТ и регулирующего элемента КСМТ, а также от режима включения. Анализ этих зависимостей выходит за рамки настоящей работы и ему будет посвящена специальная статья. Для наших целей достаточно отметить, что энергия  $W_{on}$  потерь при включении КСМТ (и, тем более, полная энергия  $W_c$ , которая обычно много больше  $W_{on}$ ) практически не зависит от  $C_g$ ,  $R_g$  и параметров затвора СИТ. Поэтому большинство расчетов в настоящей работе было выполнено при значениях  $C_g = 0$ ,  $R_g = 10 \text{ МОм}\cdot\text{см}^2$ .

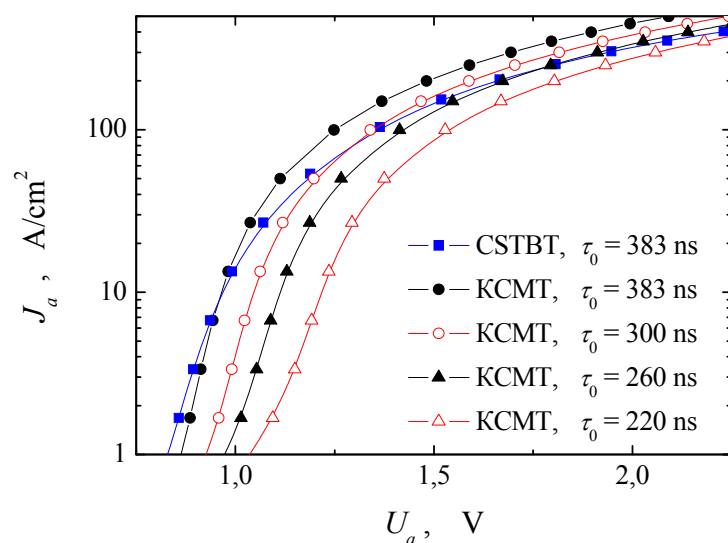


Рис. 2. Вольт-амперные характеристики КСМТ с  $x_g = 3 \text{ мкм}$  (кружки) и CSTBT (квадраты) при  $U_b = 1.4 \text{ кВ}$  и различных значениях параметров  $\tau_0$ .

<sup>1</sup> На практике оно обычно равно 20-50 нс.

Количественные различия между коммутационными характеристикам состоят в том, что и при включении, и при выключении потери в КСМТ больше, чем в эквивалентном CSTBT. Для значений параметров, соответствующих рисунку 3, энергии потерь приведены в Таблице. Причина этого, очевидно, состоит в различии зарядов  $Q_{np}$  неравновесных электронов и дырок в высокоомных базах: в CSTBT  $Q_{np}$  меньше из-за относительно низкой эффективности инжекции электронов катодным эмиттером, поэтому работа, необходимая для введения этого заряда при включении и его извлечения при выключении также оказывается меньше, чем в СИТ. Таким образом, одна и та же причина увеличивает статические и уменьшает коммутационные потери в CSTBT.

Параметр	Обозначение и ед. измерения	КСМТ	CSTBT
Мощность, рассеиваемая прибором в открытом состоянии	$P_{ON}$ , кВт/см <sup>2</sup>	124,5	135,3
Энергия потерь при включении	$W_{ON}$ , мДж/см <sup>2</sup>	1,47	0,402
Энергия потерь при выключении	$W_{OFF}$ , мДж/см <sup>2</sup>	10,2	6,86
Суммарные коммутационные потери	$W_c$ , мДж/см <sup>2</sup>	11,67	7,262

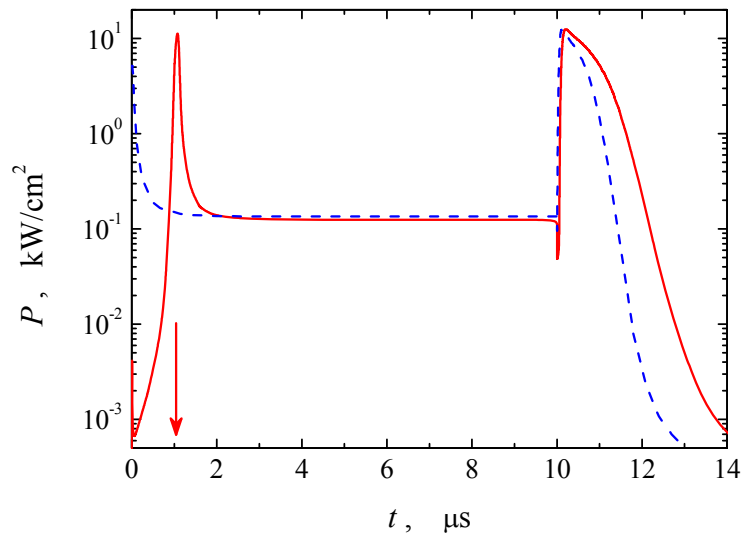


Рис. 3. Зависимости мощности, рассеиваемой КСМТ (сплошная линия) и CSTBT (штриховая линия) с  $U_b = 1,4$  кВ,  $\tau_0 = 383$  нс,  $R_g = 10^7$  Ом·см<sup>2</sup> и  $C_g = 0$  при пропускании прямоугольного импульса тока с длительностью 10 мкс и амплитудой 100 А/см<sup>2</sup> через сопротивление нагрузки 5 Ом. Стрелкой указано время  $t_d$  задержки включения КСМТ.

Для наглядного сравнения эффективности двух типов коммутаторов удобно использовать зависимость отношения  $\eta(T_{ON}) = \bar{P}_{КСМТ} / \bar{P}_{CSTBT}$  средних рассеиваемых ими мощностей от длительности импульса тока. Пример таких зависимостей приведен на Рис. 4. Как видно, в этом конкретном случае КСМТ эффективней эквивалентного CSTBT только при  $T_{ON} > 100$  мкс. Однако результаты работы [7] указывают на то, что обычно рабочая плотность тока

$J_{us} = (20 \div 100) \text{ A/cm}^2$  заметно больше величины  $J_{=} = (0.1 \div 10) \text{ A/cm}^2$  (см. Рис. 2 и 6), при которой мощности  $P_{ON}$ , рассеиваемые в открытом состоянии эквивалентными КСМТ и ССТВТ совпадают. Это означает, что можно уменьшать время жизни  $\tau_0$  в СИТ, сохраняя его преимущество в открытом состоянии и уменьшая (или даже исключая) повышенные коммутационные потери. Результаты расчетов, приведенные на Рис. 4, показывают, что потери в КСМТ со сниженным всего на 22 % временем жизни  $\tau_0$  меньше, чем в «прежнем» ССТВТ, при всех значениях  $T_{ON}$ . Это преимущество не очень велико, но при снижении  $\tau_0$  в КСМТ на 43 % оказывается, что «прежний» ССТВТ рассеивает мощность уже на 43 % большую, чем «модифицированный» КСМТ, в наиболее актуальном диапазоне значений  $T_{ON} \leq 10 \text{ мкс}$ .

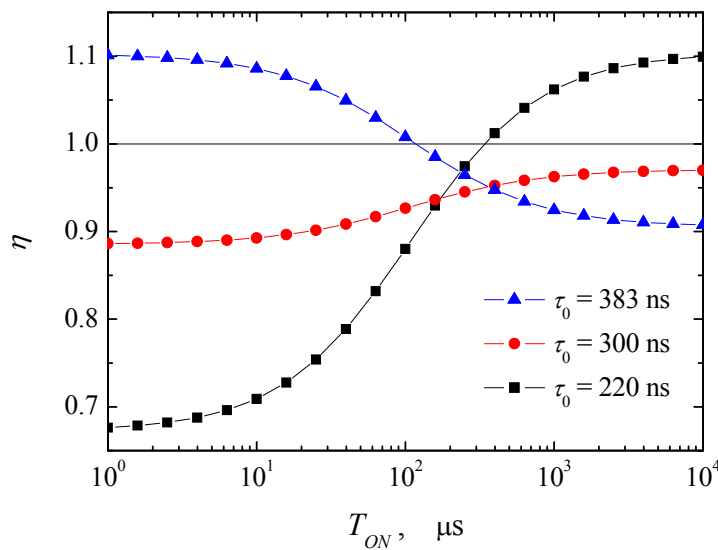


Рис. 4. Зависимость отношения  $\eta$  средних мощностей, рассеиваемых КСМТ и ССТВТ от длительности импульса тока с амплитудой 157 А, при  $U_b = 1.4 \text{ кВ}$ ,  $R = 5 \text{ Ом}$ ,  $\tau_0 = 383 \text{ нс}$  в ССТВТ и различных  $\tau_0$  в КСМТ.

С ростом плотности тока статические потери в ССТВТ растут быстрее, чем в КСМТ (см. Рис. 2), а коммутационные – медленнее (при постоянном сопротивлении нагрузки). Соответствующим образом видоизменяются зависимости  $\eta(T_{ON})$ , как это изображено на Рис. 5.

Следует подчеркнуть, что неравенство  $J_{us} \gg J_{=}$  выполняется при всех значениях параметров эквивалентных КСМТ и ССТВТ [7]. Поэтому описанный выше результат является весьма общим, то есть для каждого набора параметров ССТВТ можно подобрать такое время жизни в «почти эквивалентном» КСМТ, что величина  $\eta(T_{ON})$  будет заметно меньше 1 в заданном диапазоне значений амплитуды  $J_a$  и длительности  $T_{ON}$  импульсов тока. В качестве еще одного примера, иллюстрирующего это утверждение, на Рис. 6 приведены зависимости  $\eta(T_{ON})$  для КСМТ и ССТВТ с напряжением пробоя  $U_b = 4.6 \text{ кВ}$ .

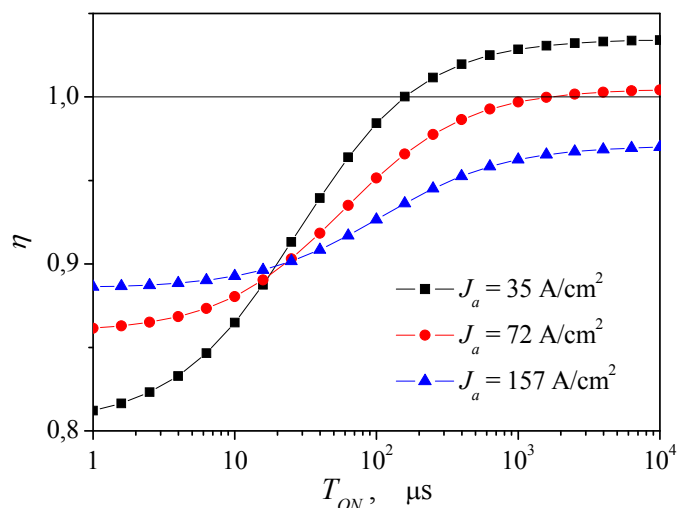


Рис. 5. Зависимость отношения  $\eta$  средних мощностей, рассеиваемых КСМТ и СТВТ с  $U_b = 1.4$  кВ, от длительности импульса тока с различными амплитудами при  $\tau_0 = 383$  нс в СТВТ,  $\tau_0 = 300$  нс в КСМТ и  $R = 5$  Ом.

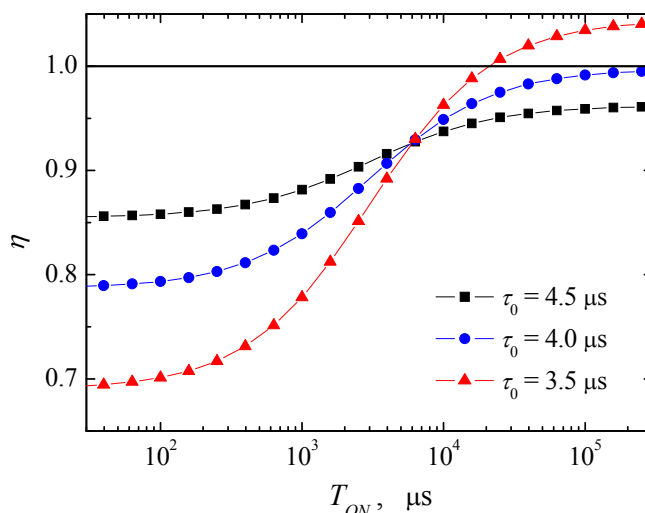


Рис. 6. Зависимость отношения  $\eta$  средних мощностей, рассеиваемых КСМТ и СТВТ, от длительности импульса тока с амплитудой 80 А при  $U_b = 4.6$  кВ,  $R = 30$  Ом,  $\tau_0 = 6.13$  мкс в СТВТ и различных  $\tau_0$  нс в КСМТ.

Причиной относительно более высоких потерь в СТВТ является низкая эффективность инжекции электронов из катодного эмиттера. Это приводит к сильно неравномерному заполнению высокоомной базы неравновесной плазмой, причем минимум концентрации расположен вблизи катода [1-3,7]. Такое распределение (вариант А по терминологии работы [12]) плазмы является худшим из возможных, так как энергия потерь при выключении  $W_{off}$  оказывается наибольшей при заданных величинах  $Q_{np}$  или  $U_{ON}$  [12,13]. Оптимальным является вариант С распределения, при котором минимум концентрации расположен вблизи анода. В этом случае величина  $W_{off}$  оказывается в 2-4 раза меньше по сравнению с вариантом А при прочих равных условиях [12,13]. Промежуточный вариант В с почти равномерным рас-

пределением плазмы реализуется в обычных СИТ с постоянной по толщине базы скоростью рекомбинации и близкими коэффициентами инжекции электронов из катода и дырок из анода. В этом случае величина  $W_{off}$  оказывается больше, чем в варианте С, но меньше, чем в варианте А. Именно такой СИТ изучался в настоящей работе, поэтому его преимущество перед CSTBT хотя и несомненное, но не максимально возможное. Очевидно, что уменьшение времени жизни вблизи анода или эффективности инжекции дырок из анода преобразует распределение плазмы в СИТ к оптимальному варианту С и еще больше увеличит преимущество КСМТ перед CSTBT. В то же время применение подобных методов к CSTBT в лучшем случае приведет к варианту В, но с низкими коэффициентами инжекции и электронов из катода, и дырок из анода.

Работа выполнена при поддержке РФФИ (грант 13-07-00943).

### Литература

1. Khana V. K. *The Insulated gate bipolar transistor (IGBT): theory and design*. A Wiley-Interscience publication. 2003. 626 p.
2. Baliga B. J. *Fundamentals of Power Semiconductor Devices*. N.-Y., Springer Science, 2008, 1069 p.
3. Takahashi H. et al., *Carrier stored trench-gate bipolar transistor (CSTBT) - a novel power device for high voltage application*. Proceedings of 8th International Symposium on Power Semiconductor Devices and ICs, 1996, pp. 349 – 352.
4. Бономорский О.И., Воронин П.А. *Полупроводниковое ключевое устройство с полевым управлением*. Патент РФ на изобретение №2199795. Бюллетень «Изобретения и полезные модели» Бюл. №6, 27.02.2003.
5. Бономорский О., Воронин П., Куканов В., Щепкин Н. *Сравнительные экспериментальные исследования модулей IGBT и модулей на основе СИТ-МОП-транзисторов*. Компоненты и технологии: Силовая электроника, 2004, №1, с.18-21.
6. Бономорский О., Воронин П., Куканов В., Щепкин Н. *Исследование процессов запираания комбинированных транзисторов*. Компоненты и технологии: Силовая электроника, 2004, №8, с.68-71.
7. Бономорский О. И., Кюрегян А. С., Горбатюк А. В., Иванов Б. В. *Сравнительный анализ статических характеристик биполярных транзисторов с изолированным затвором и тиристоров с полевым управлением*. Электротехника, 2015, №2, с. \_\_\_\_\_.
8. *Synopsys Dev. Simulation, TCAD Sentaurus Manual* // <http://www.synopsys.com>.
9. Broich B., Gobrecht J., Roggwiller P. *Power semiconductor module*, US Patent 4,768,075, August 30, 1988.
10. Бономорский О.И., Воронин П.А. *Полупроводниковое ключевое устройство*. Патент РФ на изобретение №2268545. Бюллетень «Изобретения и полезные модели» №2, 20.01.2006.
11. Воронин П.А., Воронин И.П., Щепкин Н.П. *Полупроводниковое устройство ключевого типа*. Патент РФ на полезную модель №74534 U1, Бюллетень «Изобретения и полезные модели» №18, 27.06.2008.
12. Cheng K., Udrea F., Amaratunga G.A.J. *Optimum carrier distribution of the IGBT*. Solid-State Electronics. 2000. V. 44. №9, p. 1573-1583.
13. Горбатюк А. В., Грехов И. В. *О возможности снижения динамических потерь выключения мощных биполярных переключателей с распределенными микрозатворами*. Письма в ЖТФ, 2008, т.34, вып.10, с. 61-68.